

4. 疲労特性

多くの材料について低サイクル疲労における寿命 N_f は、一定塑性ひずみの範囲 ϵ_p に支配されており、次式の Manson-Coffin 則が成り立つとされている。なお一定全ひずみ範囲は一定塑性ひずみ範囲とほぼ等しく、実用性を考え全ひずみ範囲として考える。

$$N_f = C^{-1}(\Delta\epsilon)^{-m} \quad (1)$$

ここで N_f : 破断繰り返し数, C, m : 材料定数, ϵ : 一定全ひずみ範囲 (今後はひずみ範囲とする) である。本疲労実験で得られた結果も式 (1) に適用できるとすると、表-1 に示す疲労実験結果から材料定数 C, m を非線形最小二乗法を使用して求めると、次式が得られる。

$$C=18.5, m=1.95 \quad (2)$$

図-6 は縦軸にひずみ範囲 ϵ と、横軸に破断までの繰り返し数 N_f を両対数グラフにプロットし、求めた式 (1) を表したものである。一方、Manson-Coffin 則を使用した低サイクル疲労強度予測手法の 1 つとして Miner 則があげられる。Miner 則は、ある一定ひずみ範囲 ϵ_i での破断までの繰り返し数を N_{fi} とすると、一回の繰り返しによる損傷は $1/N_{fi}$ となり、その一定ひずみ範囲を実際に与えた回数を n_i とすると、Miner 則は次式で表すことができる。

$$D = \sum_{i=1}^n \frac{n_i}{N_{f,i}} = C \sum_{i=1}^n (\Delta\epsilon_i)^m \quad (3)$$

上式の D は累積疲労損傷度 (以下損傷度と省略する) であり、1.0 に達すれば理論上破壊することとなる。実際に計測されるひずみデータは一定ひずみ範囲では無いため、レインフロー法などのカウント法で正しい変動ひずみ範囲を計算する必要がある。続いて式 (3) に、式 (2) の材料定数 C と m を代入すると次式となる。

$$D = 18.5 \sum_{i=1}^n (\Delta\epsilon_i)^{1.95} \quad (4)$$

この式 (4) を用い、文献 1) で行った性能実験で、全体座屈を生じなかった供試体の損傷度 D を算出した結果を表-2 に示す。全ての供試体は破断していないため $D < 1$ であることが分かる。全体座屈を生じなかった供試体は、目標性能である累積塑性ひずみ 70%、最大軸ひずみ 3% を満たしている供試体であるため、文献 1) で提案した限界値は、低サイクル疲労に対しては十分安全側であることわかる。なお Manson-Coffin 則の材料係数 C と m は様々な文献で提案されている。図-6 は本論文で使用した BRB の低サイクル疲労寿命関係、前田らが行ったモルタル充填型の BRB の低サイクル疲労寿命関係、西村らが構造用鋼材に対して行った素材実験での低サイクル疲労寿命関係を比較したものである。BRB の実構造物で疲労実験を行った結果と、素材実験とは大きな違いがあるが、BRB の形状によるひずみ-疲労寿命関係には大きな差はない。そのため、Miner 則で損傷度 D を算出する際も、ブレース材の材質さえ同様であれば BRB の形状による D の値には大きな違いはないと考えられる。

5. 結言

一定ひずみ振幅の下で疲労実験を行い、本研究で使用した BRB のひずみ-低サイクル疲労寿命関係を明らかにし、BRB の低サイクル疲労強度予測手法の 1 つとして式 (4) を提案した。

参考文献

1) 宇佐美勉, 佐藤崇, 葛西昭: 高機能座屈拘束ブレースの研究開発, 土木学会構造工学論文集 Vol.55A に掲載予定, 2009.3.
 2) 西村俊夫, 三木千壽: 構造用鋼材のひずみ制御低サイクル疲れ特性, 土木学会論文報告集, 第 279 号, pp.29-44, 1978.
 3) 中村博志, 前田泰史, 中田安洋, 岩田衛, 和田章: 実大アンボンドブレースの疲労特性 (その 2: 実験結果), 1999 年日本建築学会学術講演梗概集 C-1, pp.815-816, 1999.9.

表-1 疲労実験結果

供試体	$\Delta\epsilon$ [%]	N_f
FE-1.0	2.0	111
FE-2.0	4.0	29
FE-3.0	6.0	14
FE-4.0	8.0	7

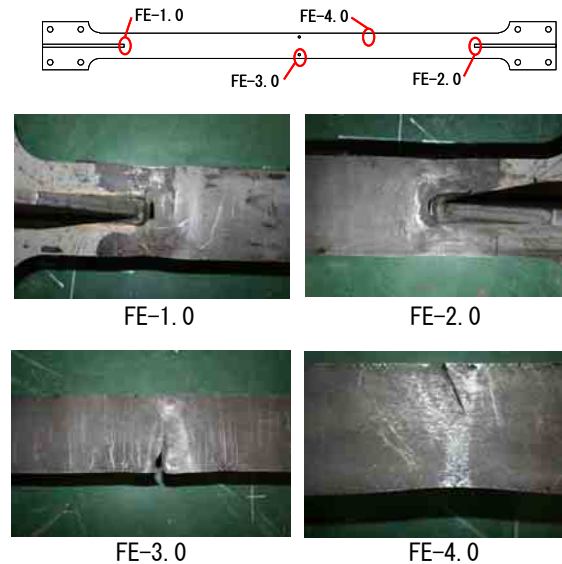


図-5 ブレース材の変形状況

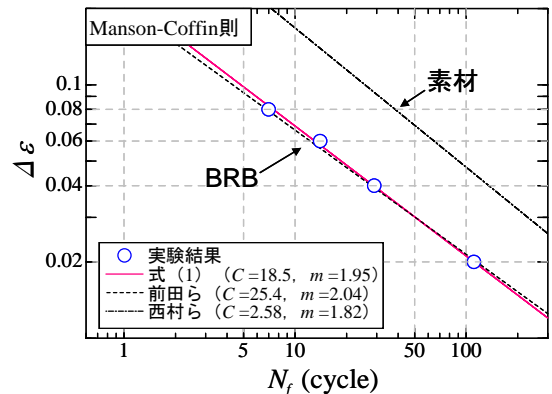


図-6 ブレース材の変形状況

表-2 文献 1) で行った性能実験での損傷度 D

供試体	累積塑性軸ひずみ CID [%]	最大軸ひずみ ϵ_{max} [%]	D
W30-d1-1A	>3.08	>81	0.520
W40-d1-4	>3.07	>74	0.395
W40-d1-6	>3.06	>73	0.378